

К ВОПРОСУ О ПОСТРОЕНИИ АЛГОРИТМОВ ЦИФРОВОЙ ОБРАБОТКИ РАДИОМЕТРИЧЕСКОЙ ИНФОРМАЦИИ

А.К. Темник, С.В. Чахлов
г. Томск, ТПУ, Россия, г. Томск, ТПУ, Россия

Описаны алгоритмы обработки радиометрической информации, исходя из предварительной обработки аналоговых сигналов и коллимационной системы детекторов излучения.

Возможности повышения пространственного разрушения радиоскопической и радиометрической информации ограничены размерами детектора излучения, а также форматом дискретизации.

Разрешающую способность радиометрического преобразователя определяет минимальный выявленный размер дефекта в направлении, перпендикулярном пучку радиационного излучения. При точечном источнике излучения поперечный размер дефекта a проектируется на преобразователь, которым служит сцинтиляционный кристалл, величиной:

$$a' = a \cdot \frac{F}{F - L_a}, \quad (1)$$

где F – фокусное расстояние (расстояние от источника до преобразователя);

L_a – расстояние от локальной неоднородности до детектора.

Приняв размер анализируемого кадра $b \cdot b = S_k$ (см^2), размер приемника излучения 1024×1024 элементов, то при размахе сканирования по оси X равным H см в одну точку будет проецироваться информация с участка равного $\Delta X = \frac{H}{1024}$. Эта величина

может быть принята за разрешение интроскопической системы в направлении X . Между нерезкостью изображения, создаваемой физическими параметрами сцинтиляционного кристалла, его геометрическими размерами, и его разрешающей способностью, существует соотношение $r \cdot U = 1,5$

где U – нерезкость изображения на преобразователе;

r – разрешающая способность преобразователя, равная $r = \frac{1}{\Delta X}$,

тогда

$$U = 1,5 \Delta X \quad (2)$$

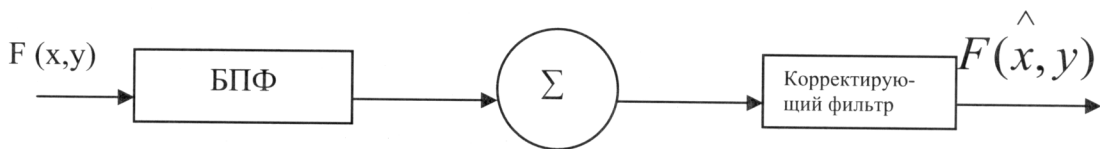
Однако достичь таких пределов возможно лишь при соответствующей цифровой обработке полученного изображения.

Дискретная аппроксимация этих уравнений требует использования методов, заимствованных из численного анализа. В начале нужно взять отсчеты с шагом, равным интервалу Найквиста. Простейшее дискретизированное изображение создается совокупностью отсчетов, образующих матрицу из $N \times N$ элементов, причем каждый элемент квантован на 2^R уровней, где $R=12$, позволяющее дискретизировать исходный сигнал с точностью до $\approx 0,15\%$, что вполне удовлетворяет необходимой точности измерений сигнала от локальной неоднородности. Для представления всего дискретизованного изображения требуется $N^2 R$ бит.

Для примера выберем в качестве критерия минимум среднеквадратичной ошибки (МСКО):

$$\min E(F - \hat{F}_T), \text{ где } \hat{F} \text{ – восстановленное изображение.}$$

Результирующий восстанавливающий алгоритм будет цифровым линейным пространственным фильтром, который в частном представлении имеет вид приведенный на схеме:



Недостаток предлагаемого метода Винера в том, что кроме функции рассеяния нужно знать и характеристики шума и изображения, величина и характер которых вычислены нами приближенно.

При оценке по методу наименьших квадратов знания соответствия между измеряемыми величинами не требуется [1;3]. Эта оценка получается в результате минимизации вероятности отношения сигнал/шум.

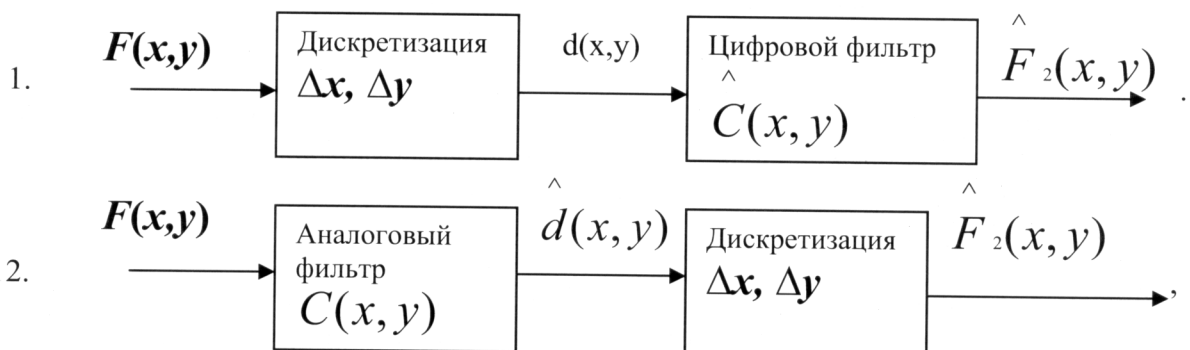
Если отношение сигнал/шум велико, все методы обнаружения равноценны и сводятся к обратной фильтрации.

Сигнал от дефекта $F(y)$ можно считать кусочно-непрерывной и интегрируемой в промежутке от $-a$ до a функцией, поэтому спектр ее является аналитической функцией. Это видно из теоремы Винера-Пэли, согласно которой Фурье – образ функции $F(y)$ может быть продолжен на всю плоскость. Таким образом, Фурье – образ функции, известный в некоторой области, может быть экстраполирован на всю область исходных значений [3;4].

Все это говорит о том, что если некоторый кусочно-непрерывный сигнал конечен, то его спектр «гладкий» и потому при абсолютно точных измерениях может быть единственным образом экстраполирован сколь угодно далеко за пределы полосы пропускания прибора. В результате появляется возможность (по крайней мере, теоретическая) достижения сколь угодно большой разрешающей способности.

Теорема Винера-Пэли по существу показывает природу производных от Фурье – образа функции: должна иметь конечные значения производных в любой точке.

Возможные преобразования исходной информации в компьютере можно представить как эквивалентное математическое описание работы системы контроля в следующих вариантах:



где $F(x,y)$ – исходное изображение;

$\hat{F}(x,y)$ – исходное изображение, прошедшее фильтрацию;

$\Delta x, \Delta y$ – шаги дискретизации;

$C(x,y)$ – отклик аналогового фильтра, адекватный цифровому фильтру с характеристикой $\hat{C}(x,y)$.

$$x = n\Delta x$$

$$y = k\Delta y$$

Предел разрешающей способности можно ориентировочно оценить из следующих соображений. Для того, чтобы ограничить влияние шумов, произведем усечение ряда,

принимая во внимание лишь N членов ряда, где $N = i_{kp}$. Тогда $N = \frac{2a\omega_2}{\pi} = 4a\nu_2$ (3)

Из общих свойств БПФ следует, что любая координатная функция ψ_i ряда точно i раз обращается в нуль на интервале $(-a, a)$. Это позволяет принять за численную меру разрешения, достигаемого при сохранении N членов разложения, среднее расстояние ρ между нулевыми значениями последней координатной функции ψ_N усеченного ряда на рассматриваемом интервале:

$$\rho = \frac{2a}{(N+1)} = \frac{2a}{4a\nu_2 + 1}, \quad (4)$$

поскольку $4a\nu_2 \gg 1$, получается $\rho = \frac{1}{2\nu_2}$, т. е. разрешение совпадает с обычной оценкой разрешающей способности реального прибора, имеющего полосу пропускания $2\nu_2$.

Список литературы

1. Р. Бейтс, Н. Мак-Доннеля, М. Мак-Доннелля. Восстановление и реконструкция изображений. – М.: Мир, 1989.
2. А.Н. Тихонов, В.Я. Арсенин. Методы решения некорректных задач. – М.: Наука, 1996.
3. У.К. Прэтт. Цифровая обработка изображений. – М.: Мир, 1982.
4. Ю.В. Ланник. Статистические задачи с мешающими параметрами. – М.: Наука, 1966.

ОПТИКОЭЛЕКТРОННАЯ СИСТЕМА ДЛЯ ДИСТАНЦИОННОГО ИЗМЕРЕНИЯ ЛИНЕЙНЫХ РАЗМЕРОВ

Н.А. Агапов, Д.Н. Агапов, г. Северск, Россия

В.В. Мевиус, О.В. Бояринов, г. Северск, Россия,

Б.К. Кулешов, г. Томск, Россия

Описывается линзовой эндоскоп для дистанционного визуального эндоскопа, используемого для дистанционного визуального контроля основного технологического оборудования: трубопроводов, сосудов, емкостей и т. д., в условиях затрудненного доступа к нему.

Для дистанционного визуального контроля основного технологического оборудования – трубопроводов, сосудов, емкостей и т. п. – в условиях затрудненного доступа к нему и/или наличия опасных и вредных производственных факторов на предприятиях атомной промышленности применяются линзовые эндоскопы. Типовая оптическая схема эндоскопа показана на рис. 1.

Откидное поворотное зеркало 5 позволяет производить либо визуальное наблюдение объекта контроля, либо на мониторе персонального компьютера (ПК). На основе приведенной оптической схемы в лаборатории металловедения Сибирского химического комбината (СХК) был разработан и изготовлен оптикоэлектронный прибор ПВК-58 (рис. 2). Эндоскоп собирается из отдельных звеньев: одно формирующее с объективом 3 и до 14 рабочих (обо-